

## بررسی تراست لازم حفاری در تونل انتقال آب بهشت‌آباد

\* سعید مهدوری؛ دانشگاه صنعتی اصفهان، دانشکده مهندسی معدن

فریماه آیتی؛ گروه زمین‌شناسی دانشگاه پیام نور

تاریخ: دریافت ۹۰/۹/۹ پذیرش ۹۱/۱۰/۱۱

### چکیده

از چالش‌های اساسی در مقابل حفر تونل، عبور تونل از مناطق با پتانسیل مجاله‌شوندگی شدید است و در صورت کاربرد حفاری مکانیزه، بررسی تراست مورد نیاز حفاری در این مناطق اجتناب‌ناپذیر است. تونل انتقال آب بهشت‌آباد به طول ۶۵ کیلومتر با هدف انتقال سالیانه یک میلیارد مترمکعب آب به بخش ایران مرکزی در حال بررسی است و با توجه به بررسی‌های زمین‌شناسی، در پهنه نوزدهم تونل، پتانسیل مجاله‌شوندگی شدید است. به همین سبب در این مقاله روش‌های ارزیابی تراست لازم بررسی، و مقدار نیروی محوری لازم برای نفوذ در جبهه کار محاسبه شده است. سپس نحوه شبیه‌سازی عددی به منظور ارزیابی تراست در پهنه مذکور، شرح داده شده و نتایج آن بررسی شده است. هم‌چنین با استفاده از روش رامونی (۲۰۱۰) تراست لازم محاسبه و نتایج آن با شبیه‌سازی عددی مقایسه شده است. با توجه به نتایج مدل‌سازی عددی به منظور کاربرد ماشین‌های حفار تمام مقطع سپردوبل در کیلومتر ۳۱۶۰۰-۲۹۰۳۰ و ۳۴۹۰۰-۳۷۴۹۰ در شرایط ژئومکانیکی بیشینه سه سانتی‌متر و در شرایط ژئومکانیکی کمینه ده سانتی‌متر اضافه حفاری لازم است و تصمیم‌گیری در ارتباط با کاربرد ماشین‌های حفار تمام مقطع در کیلومتر ۳۱۶۰۰-۳۴۹۰۰ منوط به حفر گالری اکتشافی و انجام آزمایش‌های تکمیلی به منظور تعیین پارامترهای تابع زمان سنگ است.

**واژه‌های کلیدی:** تونل انتقال آب، گالری اکتشافی، پارامترهای ژئومکانیکی توده سنگ، مجاله‌شوندگی، تراست،

ماشین‌های حفار تمام مقطع، شبیه‌سازی عددی

\* نویسنده مسئول smahdevari@cc.ir.ac.ir

### مقدمه

به دلیل رشد جمعیت، کم شدن سطح سفره‌های آب زیرزمینی، کاهش کیفیت آب زیرزمینی و تمرکز صنایع مهم مادر در منطقه مرکزی ایران، نیاز به آب در این منطقه همواره رو به افزایش بوده است. به همین دلیل به منظور رفع نیازهای آبی در بخش شرب، صنعت و کشاورزی در ایران مرکزی تونل انتقال آب بهشت‌آباد به طول ۶۵ کیلومتر و قطر ۶ متر با آورد سالیانه ۱۰۷۰ میلیون مترمکعب آب از رودخانه بهشت‌آباد به رودخانه زاینده‌رود، بررسی شده است.

با توجه به روبراه تونل، پارامترهای ژئومکانیکی توده سنگ و هم‌گرایی تونل که با راه‌حل‌های تحلیلی تخمین زده شده، امکان بروز مجاله‌شوندگی خیلی شدید در پهنه نوزدهم وجود دارد. شیوه حفاری در این پهنه مکانیزه است و برای انتخاب صحیح نوع ماشین، اطلاع از میزان تراست<sup>۱</sup> لازم حفاری اجتناب‌ناپذیر است که در این تحقیق بررسی شده است.

روش‌های ارزیابی تراست را می‌توان در سه دسته روش‌های تجربی، تحلیلی و عددی تقسیم کرد. روش‌های تجربی بر اساس پژوهش‌های آماری بر روی داده‌های حاصل از حفاری و پارامترهای زمین‌شناسی در پروژه‌هایی خاص بنا شده است و نمودارهایی به منظور ارزیابی تراست در شرایط ژئومکانیکی مشابه ارائه شده است [۱]. روش‌های تحلیلی بر مبنای روش حل بسته پایه‌گذاری شده و تنها تخمین اولیه‌ای از تراست لازم برای غلبه بر اصطکاک بدنه ارائه می‌دهد و از تغییرات توزیع تنش در جهت محور تونل صرف‌نظر می‌کند که منجر به ایجاد خطای بسیاری در تخمین می‌شود [۲]. در روش‌های عددی با بهره‌گیری از شبیه‌سازی عددی سه‌بعدی توزیع تنش پیرامون سپر تعیین و سپس تراست لازم برای غلبه بر اصطکاک بدنه، با توجه به زاویه اصطکاک بین بدنه سپر و زمین و توزیع تنش مذکور تعیین می‌شود. روش ارائه شده به وسیله رامونی<sup>۲</sup> در سال ۲۰۱۰ را می‌توان در این دسته تقسیم‌بندی کرد. در این روش، مدل‌سازی با فرض تقارن محوری و برای یک تونل دایروی عمیق، در سنگهای همگن و ایزوتروپیک با میدان تنش هیدرواستاتیک انجام شده است. به دلیل فرض تقارن محوری، نگهداری نصب شده باید متقارن باشد، همچنین در شبیه‌سازی عددی از وزن ماشین صرف‌نظر شده و ماشین در محور تونل منظور شده است. به‌علاوه اضافه‌حفاری پیرامون تونل

۱. Thrust

۲. Ramoni

یک‌نواخت و متقارن لحاظ شده است. مهم‌ترین پی‌آمد فرض تقارن محوری افزایش سختی سپر و به تبع آن افزایش فشار بر روی سپر است، در نتیجه تراست محاسبه شده در این روش بیش از مقدار واقعی است. علاوه بر این در واقع توزیع تنش پیرامون سپر یک‌نواخت نیست ولی با فرض تقارن محوری این توزیع یک‌نواخت منظور شده و از تغییرات آن در ارتفاع تونل صرف‌نظر شده است [۳].

با توجه به فرضیات ساده کننده روش رامونی، در این تحقیق سعی شده با شبیه‌سازی جزئیات ماشین‌های حفار تمام‌مقطع سپردار، تراست لازم حفاری با استفاده از شبیه‌سازی سه‌بعدی ارزیابی شده و ضمن مقایسه نتایج با تراست محاسبه شده توسط رامونی، ماشین مناسب برای حفاری تونل پیشنهاد شود.

### زمین‌شناسی تونل بهشت‌آباد

گستره ساخت‌گاه تونل در پهنه‌بندی زمین‌شناسی ایران در بخش کوهزاد زاگرس واقع است. گسل اصلی زاگرس در اغلب پهنه‌بندی‌های انجام شده در زمین‌شناسی ایران به عنوان مرز بین پهنه سنندج- سیرجان و زاگرس رورانده معرفی شده است. بدین ترتیب از ورودی تونل تا حوالی ۱۷ کیلومتر، مسیر تونل در پهنه زاگرس رورانده و از آن پس تا خروجی تونل در پهنه سنندج- سیرجان قرار می‌گیرد. با استفاده از برش زمین‌شناسی ۱:۱۰۰۰۰ مسیر تونل، برداشت‌های زمین‌شناسی مهندسی، وضعیت سنگ‌چینه‌ای، ساختمانی و هیدروژئولوژیکی و بررسی‌های زیرسطحی از طریق حفر ۲۱ حلقه گمانه و مطالعات ژئوفیزیک، مسیر تونل به ۲۹ پهنه تقسیم شده است. با توجه شرایط ژئومکانیکی نامساعد در پهنه نوزدهم تراست مورد نیاز حفاری در این پهنه بررسی شده است.

پهنه نوزدهم تونل انتقال آب بهشت‌آباد از کیلومتر ۲۹۰۳۰ تا ۳۷۴۹۰ گسترش داشته، از سه واحد زمین‌شناسی تشکیل و میزان روباره آن، از ۴۸۰ تا ۷۹۰ متر متغیر است. واحد اول این پهنه از سنگ‌آهک میلونیتی و واحد دوم از ماسه‌سنگ میلونیتی همراه با سیمان آهکی تشکیل شده و از کیلومتر ۳۱۶۰۰ تا ۳۴۹۰۰ گسترش دارد. امکان تفکیک این دو واحد از هم‌دیگر

وجود نداشته و رخ اسلیتی همراه با ریزچین و ریزگسل به فراوانی در سنگ‌های این واحدها دیده می‌شود. واحد سوم از آهک‌های ماسه‌ای، ماسه‌سنگ‌های کوارتزار کمی دگرگون شده و شیستوز و آهک‌های مارنی و شیلی کمی دگرگون شده در حد اسلیت و فیلیت تشکیل شده است. این واحد در کیلومتر ۲۹۰۳۰ تا ۳۱۶۰۰ و ۳۴۹۰۰ تا ۳۷۴۹۰ تونل دیده می‌شود. پارامترهای ژئومکانیکی سنگ بکر میزبان تونل در پهنه نوزدهم بر مبنای آزمایش‌های انجام شده بر روی مغزه‌های حاصل از حفر سه حلقه گمانه و مطالعات آماری انجام شده بر روی نتایج آزمایش‌ها (بیش از صد آزمایش برزیلی و مقاومت فشاری تک محوره) تعیین شده و در جدول ۱ نمایش داده شده است. مقطع زمین‌شناسی تونل در پهنه نوزدهم در شکل ۱ نمایش داده شده است.

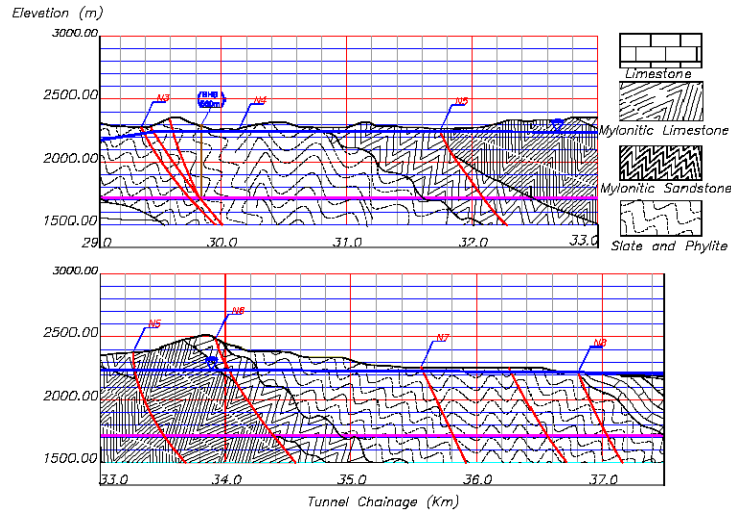
جدول ۱. پارامترهای ژئومکانیکی سنگ بکر میزبان تونل

گمانه	$m_i$	مدول الاستیک (GPa)	ضریب پواسون	مقاومت فشاری تک محوره (MPa)	مقاومت کششی (MPa)	کیلومتر
BH9, TB9A	۷	۱۱	۰/۲۲	(۵۰-۲۵) متوسط ۴۵	(۴-۱۲) متوسط ۶	۳۱۶۰۰-۲۹۰۳۰ و ۳۷۴۹۰-۳۴۹۰۰
TB9B	۶	۷	۰/۲۴	(۱۰-۳۰) متوسط ۲۵	(۱-۵) متوسط ۲	۳۴۹۰۰-۳۱۶۰۰

برای تخمین پارامترهای توده سنگ که در شبیه‌سازی عددی استفاده می‌شود، ابتدا با استفاده از طبقه‌بندی‌های مهندسی توده سنگ ( $RMR'_{89}$ )، پارامتر  $GSI$  تعیین و سپس با استفاده از روش پیشنهادی هوک و پارامترهای ژئومکانیکی سنگ بکر، پارامترهای توده سنگ ارزیابی و در جدول ۲ نمایش داده شده است [۴].

جدول ۲. پارامترهای ژئومکانیکی توده سنگ میزبان تونل

مدول تغییرشکل (MPa)	ضریب پواسون	زاویه اصطکاک داخلی	چسبندگی (MPa)	$GSI$	کیلومتر
۲۵۰۰ - ۱۲۵۰	۰/۲۸	۲۶ - ۲۳	۱/۸ - ۱/۵	- ۳۵ ۴۵	۳۱۶۰۰-۲۹۰۳۰ و ۳۷۴۹۰-۳۴۹۰۰
۸۰۰	۰/۳۳	۲۲	۰/۸۰	- ۲۵ ۳۵	۳۴۹۰۰-۳۱۶۰۰



شکل ۱. مقطع زمین‌شناسی پهنه نوزدهم تونل بهشت آباد

### مشکلات حفاری در زمین‌های مچاله‌شونده

کواری<sup>۱</sup> هم‌گرایی بیش از ۵ درصد را برای تونل مشکل‌آفرین توصیف می‌کند [۵]. این شرایط بیان‌گر مچاله‌شوندگی شدید تونل است. حفاری سستی در زمین‌های مچاله‌شونده، از نظر این‌که انعطاف‌پذیری زیادی در ارتباط با افزایش سطح مقطع حفاری وجود دارد بر حفاری مکانیزه برتری دارد. انواع ماشین‌های حفار تمام مقطع با توجه به دامنه تراست متفاوت و وجود داشتن یا وجود نداشتن سپر، با مشکلات متفاوتی در زمین‌های مچاله‌شونده روبرو می‌شوند.

ماشین‌های باز به یک سپر یا سایبان کوچک برای محافظت کله‌حفار<sup>۲</sup> مجهز هستند که کوچک بودن این سایبان نقش مثبتی در کاهش تراست لازم برای حفاری دارد. به‌علاوه دسترسی به جبهه کار در مقایسه با ماشین‌های سپردار سریع‌تر و آسان‌تر است. عدم امکان تأمین تراست از طریق چنگ‌زننده‌ها<sup>۳</sup> بزرگ‌ترین مشکلی است که با آن در حفاری با ماشین‌های باز در زمین‌های مچاله‌شونده روبرو می‌شویم. در این شرایط عملیات پیش‌تحکیمی باید قبل از حفاری تونل انجام شود که مستلزم صرف زمان و هزینه زیادی است [۶].

۱. Kovari      ۲. Cutter Head      ۳. Gripper

طول سپر در ماشین‌های تک‌سپر بیش از ماشین‌های باز است. به همین دلیل احتمال گیرکردن آن‌ها در زمین‌های مچاله‌شونده خیلی بیش‌تر است. سرعت حفاری این ماشین‌ها در زمین‌های ضعیف بیش از ماشین‌های باز است ولی حساسیت آن‌ها به تغییرات شرایط زمین‌شناسی بیش‌تر است. این ماشین‌ها تراست لازم خود برای حفاری را از سگمنت تأمین می‌کنند. طول ماشین‌های سپردوبل بیش از ماشین‌های تک‌سپر است و تراست لازم حفاری را می‌تواند از بدنه تونل، سگمنت یا هر دو تأمین کند. با صرف‌نظر کردن از اثر زمان، هر چه طول سپر بیش‌تر باشد تراست لازم حفاری بیش‌تر است. ولی چون مقدار پیش‌روی ماشین‌های سپردوبل بیش از ماشین‌های تک‌سپر است، هم‌گرایی تونل کم‌تر و در نتیجه بار اعمال شده از طرف زمین بر سپر کم‌تر و تراست لازم برای حفاری در مقایسه با ماشین‌های تک‌سپر کم‌تر خواهد بود. به‌طور کلی می‌توان گفت با توجه زیاد بودن مقدار پیش‌روی ماشین‌های سپر دوبل احتمال گیر کردن آن‌ها نسبت به ماشین‌های تک‌سپر کم‌تر است ولی در صورت گیرکردن ماشین، آزادسازی آن مستلزم صرف زمان و هزینه بیش‌تری در مقایسه با ماشین‌های تک‌سپر است.

### روش‌های کاهش تراست لازم حفاری

اجرای اضافه‌حفاری در پهنه‌هایی که در آن‌ها پدیده مچاله‌شوندگی مشاهده می‌شود به‌منظور کاهش تراست، بسیار معمول است. زیرا با اضافه‌حفاری به تونل اجازه داده می‌شود تا حدودی تغییرشکل پیدا کرده و تنش‌ها آزاد شود، که منجر به استفاده از نگه‌داری سبک‌تر و تراست کم‌تر، برای حفاری تونل می‌شود. اگر تونل با روش سستی حفاری شود، اضافه‌حفاری با سهولت و بودن محدودیت در طول و مقدار اضافه‌حفاری قابل اجرا است ولی در حفاری مکانیزه، اولاً مقدار اضافه‌حفاری محدودیت دارد و بیشینه مقدار آن از نقطه‌نظر فنی ۱۵ سانتی‌متر در شعاع است، ثانیاً طولی از تونل که می‌توان اضافه‌حفاری را در آن اعمال کرد نیز محدودیت دارد. اضافه‌حفاری معمولاً با یک برش‌دهنده که بر روی محیط کله‌حفار نصب شده و به‌صورت هیدرولیکی یا غیرهیدرولیکی از کله‌حفار خارج می‌شود، انجام می‌شود. در شیوه غیرهیدرولیکی برش‌دهنده به‌صورت دستی خارج شده و با خار در جای خود محکم می‌شود، در این شیوه از

لحاظ طول با محدودیت کم‌تری مواجه هستیم [۷]. برای انجام اضافه حفاری کله‌حفار باید در مرکز تونل قرار بگیرد، این مورد با جک‌هایی که در زیر کله‌حفار تعبیه شده، محقق می‌شود. کله‌حفار در مرکز تونل قرار گرفته ولی سپر ماشین تحت تأثیر شتاب ثقل، بر روی کف تونل قرار می‌گیرد. در این شرایط برای اضافه‌حفاری ۵ سانتی‌متر، فاصله بین سپر و زمین در تاج ۱۰ سانتی‌متر و در کف صفر خواهد بود.

روش دیگر برای کاهش تراست لازم حفاری در ماشین‌های سپردار، کاهش قطر سپر با فاصله گرفتن از جبهه‌کار حفاری است. با کم شدن قطر سپر، نیروی محوری اعمال شده بر سپر کاسته شده و به تبع آن تراست لازم حفاری نیز کاهش می‌یابد. حداکثر میزان کاهش قطر سپر از ۶ سانتی‌متر تجاوز نمی‌کند.

روش دیگر کاهش تراست استفاده از بتونیت به منظور کاهش ضریب اصطکاک بین سپر و زمین است. با استفاده از بتونیت می‌توان ضریب اصطکاک را تا حدود ۵۰ درصد کاهش داد. ضریب اصطکاک دینامیک یا ضریب اصطکاک در شرایطی که ماشین در حال پیش‌روی است را می‌توان به طور متوسط ۰/۲۵ و ضریب اصطکاک استاتیک یا ضریب اصطکاک در شرایط سکون ماشین را می‌توان ۰/۴ در نظر گرفت [۱].

بیشینه تراست قابل دستیابی در حفاری مکانیزه می‌تواند fh بیشینه ظرفیت باربری زمین پیرامون چنگ‌زنده‌ها، بیشینه ظرفیت باربری سگمنت‌های بتنی و یا حداکثر تعداد جک قابل نصب در سپر محدود شود.

### ارزیابی تراست مورد نیاز حفاری

تراست لازم حفاری نتیجه جمع نیروی محوری لازم برای نفوذ در جبهه‌کار و تراست لازم برای غلبه بر اصطکاک بدنه است. به منظور ارزیابی تراست لازم حفاری، ابتدا نیروی محوری لازم برای نفوذ در جبهه‌کار محاسبه شده است.

#### ۱. نیروی محوری لازم جهت نفوذ در جبهه‌کار

نیروی محوری لازم برای برش، برابر با مجموع نیروی‌های نرمال بر برش‌دهنده‌ها برای نفوذ در جبهه‌کار است. نیروی نرمال بر هر برش‌دهنده با توجه به توزیع فشار پیرامون

برش‌دهنده و سطح تماس برش‌دهنده با سنگ ارزیابی می‌شود. رستمی با در نظر گرفتن توزیع یکنواخت فشار پیرامون برش‌دهنده و با توجه به نتایج آزمون‌های آزمایشگاهی رابطه ۲ را برای ارزیابی فشار ارائه کرده است [۸].

$$P = 2.123 \sqrt{\left( S \times \sigma_c^2 \times \sigma_t \right) / \left( \varphi \sqrt{RT} \right)} \quad (2)$$

که در آن:

S فاصله‌داری برش‌دهنده‌ها، T ضخامت لبه برش‌دهنده دیسکی، R شعاع برش‌دهنده دیسکی،  $\sigma_c$  و  $\sigma_t$  به ترتیب مقاومت فشاری و کششی سنگ است.  $\varphi$  زاویه تماس بین برش‌دهنده دیسکی و سنگ در مقطع طولی است که با استفاده از رابطه ۳ تعیین می‌شود [۸]:

$$\varphi = \cos^{-1} \left( \frac{R - P_n}{R} \right) \quad (3)$$

که در آن  $P_n$  میزان نفوذ کله‌حفار در جبهه کار حفاری در یک دور کله‌حفار است. با در نظر گرفتن پیش‌روی ۳۰۰ متر در ماه و ضریب بهره‌وری ۲۰ درصد، میزان نفوذ در هر دور کله‌حفار به‌طور متوسط ۵ میلی‌متر خواهد بود. با در نظر گرفتن توزیع یکنواخت فشار پیرامون برش‌دهنده، نیروی محوری لازم برای برش با استفاده از رابطه ۴ محاسبه می‌شود [۸].

$$Th_{Exca.} = N \times P \times R \times \varphi \times T \times \cos(\varphi/2) \quad (4)$$

که در آن N تعداد برش‌دهنده‌های دیسکی است.

بر مبنای نتایج آزمایش‌های انجام شده، برای ارزیابی نیروی محوری لازم برای نفوذ در جبهه کار مقاومت فشاری و کششی سنگ‌های میزبان تونل به ترتیب ۲۵ و ۲ مگاپاسگال منظور شده است. با استفاده از ۵۰ برش‌دهنده ۱۷ اینچی به ضخامت لبه ۱ اینچ، نیروی محوری لازم برای نفوذ در جبهه کار ۳ مگانیوتن خواهد بود.

## ۲. ارزیابی تراست لازم جهت غلبه بر اصطکاک بدنه

به منظور ارزیابی تراست، طول سپر برای ماشین‌های سپر دابل ۱۳ متر و برای ماشین‌های تک سپر ۸ متر و قطر آن‌ها با توجه به قطر تمام شده تونل و ضخامت سگمنت بتنی ۷ متر



منظور شده است. ضریب اصطکاک در شرایط دینامیک  $0/25$  و در شرایط استاتیک  $0/4$  لحاظ شده است.

## ۲-۱. شبیه‌سازی عددی

به منظور ارزیابی تراست لازم جهت غلبه بر اصطکاک بدنه سپر و زمین، اطلاع از توزیع تنش نرمال پیرامون سپر، طول و قطر سپر، وزن ماشین و ضریب اصطکاک میان سپر و زمین، الزامی است. شبیه‌سازی عددی روش مناسبی برای ارزیابی توزیع تنش پیرامون سپر است. در شرایطی که به اندازه کافی از جبهه‌کار حفاری دور باشیم می‌توان با لحاظ کردن شرایط کرنش سطحی، تونل را به صورت دو بعدی مدل کرد ولی برای ارزیابی تراست ماشین‌های حفار تمام مقطع، چون جبهه‌کار بر روی توزیع تنش پیرامون سپر تأثیر می‌گذارد، شرایط کرنش سطحی صادق نبوده و شبیه‌سازی باید به صورت سه بعدی انجام شود. بعلاوه تغییر شکل تونل می‌تواند در یک دوره زمانی کوتاه یا در مدت چند سال اتفاق افتد. تغییر شکل‌های وابسته به زمان در سنگ را خزش می‌نامند و به دلیل سخت بودن ارزیابی پارامترهای کنترل‌کننده خزش، لحاظ کردن این نوع تغییر شکل در شبیه‌سازی عددی بسیار مشکل است و عملاً از تأثیر زمان بر میزان جابه‌جایی‌ها، در شبیه‌سازی عددی صرف‌نظر می‌شود. لذا نیرویی که توسط شبیه‌سازی عددی تعیین می‌شود بیش از نیرویی است که در عمل بر روی سپر اعمال می‌شود و تراست ارزیابی شده با استفاده از شبیه‌سازی عددی بدون لحاظ کردن اثر زمان محافظه‌کارانه است [۹].

اگر امکان لحاظ کردن تأثیر زمان در شبیه‌سازی عددی وجود داشته باشد یا به عبارت دیگر پارامترهای کنترل‌کننده خزش ارزیابی شده باشد، می‌توان با توجه به اضافه‌حفاری و پارامترهای ژئومکانیکی سنگ میزبان، پارامتری را با عنوان زمان توقف بحرانی تعریف کرد. اگر زمان توقف ماشین از زمان توقف بحرانی بیشتر شود دیگر تراست ماشین جوابگو برای راه‌اندازی ماشین نخواهد بود، یا به عبارت دیگر تراست ماشین نمی‌تواند بر اصطکاک بدنه ماشین با زمین غلبه کند. هر چه سرعت حفاری قبل از توقف ماشین افزایش یابد، زمان توقف بحرانی افزایش می‌یابد [۱۰].

بعد از ارزیابی توزیع تنش نرمال پیرامون سپر با توجه به مشخصات هندسی سپر و شرایط

ژئومکانیکی زمین توسط شبیه‌سازی عددی سه‌بعدی، با انتگرال‌گیری از توزیع تنش نرمال بر روی سطح سپر، نیروی نرمال بر سپر محاسبه شده و تراست لازم جهت غلبه بر اصطکاک با استفاده از رابطه ۱ تعیین می‌شود.

$$T = (N + W_{Sh}) \times \mu \quad (1)$$

که در آن:

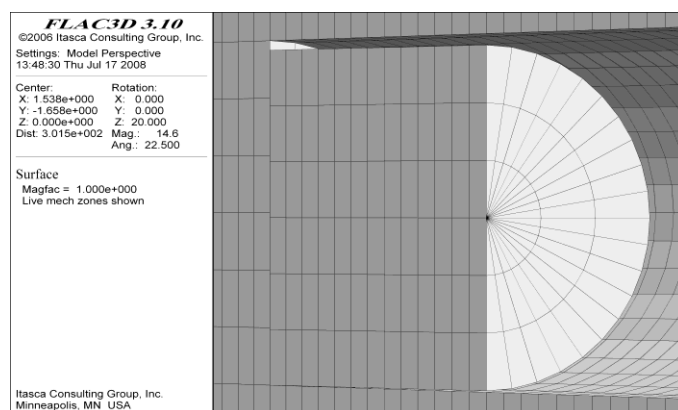
T تراست لازم برای غلبه بر اصطکاک بدنه، N نیروی نرمال بر سپر،  $\mu$  ضریب اصطکاک و  $W_{Sh}$  وزن سپر است. در مواردی که وزن سپر در شبیه‌سازی عددی منظور می‌شود، چون بر روی توزیع تنش پیرامون سپر تأثیر می‌گذارد، دیگر نیازی به لحاظ کردن آن در رابطه ۱ نیست. به‌منظور شبیه‌سازی، از یک مدل عددی با ابعاد  $100 * 100 * 50$  متر به ترتیب در راستای X، Y و Z استفاده شده است به‌همین دلیل مرزهای مدل عددی به‌اندازه کافی دور است و تأثیری بر روی جابه‌جایی‌ها و تنش‌ها پیرامون سپر ندارد. تنش حاصل از مابقی روباره تونل نیز محاسبه شده و در جهت Z بر روی مرز بالایی مدل اعمال شده است. در سایر مرزهای مدل از تکیه‌گاه غلطکی استفاده شده است. در شبیه‌سازی عددی انجام شده برای لحاظ کردن اضافه‌حفراری و کاهش قطر سپر ابتدا هندسه پیرامون تونل با لحاظ کردن اضافه‌حفراری ایجاد شده است. سپس هندسه بخش میانی تونل در قسمت مرکزی ایجاد شده و به اندازه اضافه‌حفراری به سمت پایین (در راستای محور Z) جابه‌جا شده است تا میزان اضافه‌حفراری در تاج دو برابر و در کف صفر شود (شکل ۲). چگالی بخش میانی با توجه به وزن ماشین محاسبه شده و قطر آن از جبهه‌کار حفاری تا فاصله ۱۳ متری از جبهه‌کار به اندازه ۶ سانتی‌متر کاهش یافته است. از فاصله ۱۳ متری جبهه‌کار حفاری تا مرز مدل عددی ساخته شده برای نگهداری تونل از المان سازه‌ای پوسته<sup>۱</sup> استفاده شده و مشخصات سازه‌ای آن مطابق با سگمنت بتنی به ضخامت ۳۰ سانتی‌متر لحاظ شده است. به‌منظور ارزیابی نیروی نرمال اعمال شده بر سپر و کله‌حفار از طرف زمین، در جبهه کار حفاری و پیرامون بخش میانی از المان سطح مشرک<sup>۲</sup> استفاده شده است. سختی نرمال سطح مشترک با بهره‌گیری از رابطه ۵ ارزیابی شده است [۳].

$$K_n = E_s d / R^2 \quad (5)$$

۱. Shell

۲. Interface

که در آن  $E_s$  مدول الاستیک فولاد،  $d$  ضخامت سپر و  $R$  شعاع سپر است. با توجه به جهت پیش‌روی و استنباط از قانون نیوتن، برآیند نیروهای وارد بر سپر در امتداد محور تونل باید در سمت پیش‌روی باشد، بنا بر این برای تحقق این امر شبیه‌سازی عددی در دو مرحله انجام شده است. در مرحله اول فاصله میان کله‌حفار و جبهه کار حفاری صفر لحاظ شده است و سپس نیروی محوری اعمال شده بر کله‌حفار و نیروی اصطکاک بین بدنه سپر و زمین با توجه به تنش‌های نرمال اعمال شده بر فصل مشترک میان سپر ماشین و زمین پیرامون، ارزیابی شده است. اگر نیروی محوری کم‌تر از نیروی اصطکاک بدنه باشد، فرض لحاظ شده صحیح است و برآیند نیروها به سمت پیش‌روی است. تراست لازم حفاری در این شرایط برابر با نیروی اصطکاک بدنه به‌علاوه نیروی محوری لازم برای نفوذ در جبهه کار است که حدود ۳ مگانیوتن ارزیابی شده است. در صورتی که نیروی محوری بیش از نیروی اصطکاک بدنه باشد، برآیند نیروها در خلاف جهت پیش‌روی است و فرض لحاظ شده صحیح نیست. در این شرایط مرحله دوم شبیه‌سازی به این صورت انجام شده است.



شکل ۲. نحوه مدل کردن اضافه‌حفاری در شبیه‌سازی عددی و تغییرات آن در تاج و کف تونل  
ابتدا مدل دیگری بدون لحاظ کردن سپر ساخته و نیروی محوری سه مگانیوتن که برابر با نیروی محوری لازم برای نفوذ در جبهه کار است به‌صورت نیروی خارجی گسترده بر روی جبهه کار حفاری اعمال می‌شود. با اعمال نیروی خارجی امکان جابه‌جایی برای جبهه کار فراهم شده و مقدار این جابه‌جایی بعد از به تعادل رسیدن مدل ارزیابی می‌شود. سپس شبیه‌سازی

عددی تکرار شده و سپر در فاصله ارزیابی شده در مرحله قبل نسبت به جبهه کار قرار داده می‌شود، بعد از به تعادل رسیدن مدل نیروی اصطکاک بدنه محاسبه شده و تراست لازم حفاری برابر با نیروی اصطکاک بدنه به علاوه سه مگانیوتن برای نفوذ در جبهه کار است.

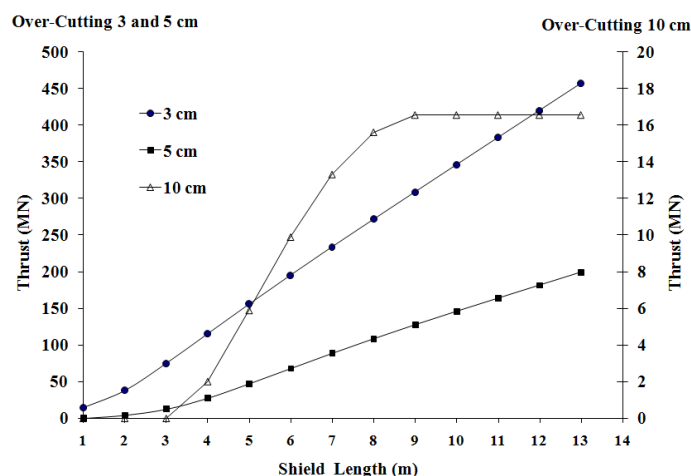
## ۲-۲. نتایج شبیه‌سازی عددی

کیلومتر ۳۱۶۰-۲۹۰۳۰ و ۳۴۹۰۰-۳۷۴۹۰: با توجه به سه اضافه‌حفاری ۳، ۵ و ۱۰ سانتی‌متر و دو رده پارامتر ژئومکانیکی کمینه و بیشینه که در جدول ۲ نمایش داده شده، شش مدل عددی در پهنه مذکور بررسی شده است که نتایج آن در جدول ۳ نمایش داده شده است. با توجه به این‌که در ماشین‌های حفار تمام‌مقطع سپر دوپل با قطر ۷ متر دستیابی به تراست ۶۰ تا ۷۰ مگانیوتن امکان‌پذیر است و بر اساس نتایج ارائه شده در جدول ۳ در شرایط ژئومکانیکی کمینه، تنها هنگامی می‌توان از ماشین‌های سپر دوپل یا تک‌سپر استفاده کرد که میزان اضافه‌حفاری ۱۰ سانتی‌متر باشد. اعمال این مقادیر از اضافه‌حفاری تنها در طول‌های محدود ۲۰۰ تا ۳۰۰ متر امکان‌پذیر است، به همین دلیل اگر طول مناطق با شرایط ژئومکانیکی کمینه بیش از ۲۰۰ تا ۳۰۰ متر باشد، کاربرد ماشین‌های سپردار مخاطره‌آفرین و نیازمند تمهیدات خاص و زمان‌بر است. تغییرات تراست لازم برای غلبه بر اصطکاک بدنه، برای شرایط ژئومکانیکی کمینه در مقابل طول سپر برای دو اضافه‌حفاری ۳ و ۵ سانتی‌متر در محور قائم سمت چپ و برای اضافه‌حفاری ۱۰ سانتی‌متر در محور قائم سمت راست نمودار شکل ۳ نمایش داده شده است.

در شرایط ژئومکانیکی بیشینه و اضافه‌حفاری سه سانتی‌متر، بیشینه تراست لازم برای حفاری حدود ۸ مگانیوتن است که در ماشین‌های حفار تمام مقطع تک‌سپر و سپردوپل به راحتی قابل دستیابی است و نیازی به انجام اضافه‌حفاری‌های ۵ و ۱۰ سانتی‌متر نیست. ولی اگر در همین شرایط ژئومکانیکی، اضافه‌حفاری سه سانتی‌متر حذف شده و صرفاً کاهش قطر سپر به اندازه شش سانتی‌متر در طول سپر منظور شود، تراست لازم حفاری حدود ۴۰۰ مگانیوتن خواهد بود و امکان حفاری با ماشین‌های سپردار وجود ندارد. توزیع تنش نرمال پیرامون سپر و جابه‌جایی سقف و کف تونل برای مدل عددی شماره یک که در آن پارامترهای ژئومکانیکی بیشینه و اضافه‌حفاری سه سانتی‌متر است در شکل‌های ۴ و ۵ نمایش داده شده است

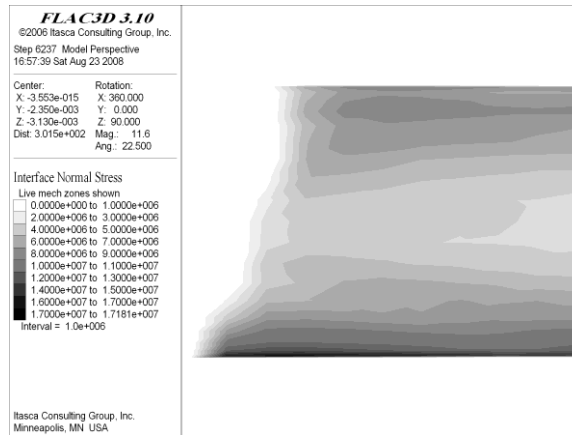
جدول ۳. تراست لازم برای غلبه بر اصطکاک بدنه سپر در  
کیلومتر ۳۱۶۰۰-۲۹۰۳۰ و ۳۴۹۰۰-۳۷۴۹۰

پارامترهای ژئومکانیکی	شماره مدل	تراست (MN)		تکس	سپردو
		اضافه حفاری (cm)	بل		
بیشینه	۱	۳	۵	۰/۴	۰/۷
	۲	۵	۵	۰/۴	۰/۷
	۳	۱۰	۵	۰/۴	۰/۷
کمینه	۴	۳	۴۲۰	۲۷۰	۱۸۰
	۵	۵	۱۸۰	۱۰۸	۱۶
	۶	۱۰	۱۶	۱۵	۱۶

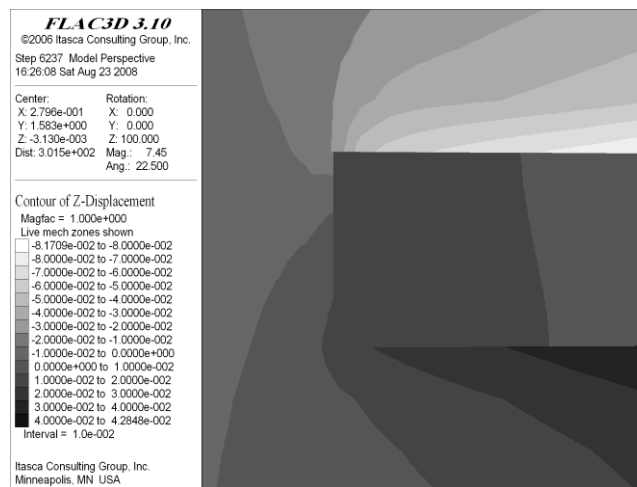


شکل ۳. تغییرات تراست لازم برای غلبه بر اصطکاک بدنه در مقابل طول سپر برای شرایط ژئومکانیکی کمینه در کیلومتر ۳۱۶۰۰-۲۹۰۳۰ و ۳۴۹۰۰-۳۷۴۹۰

کیلومتر ۳۱۶۰۰-۳۴۹۰۰: در این پهنه سه مدل عددی برای اضافه حفاری‌های ۳، ۵ و ۱۰ سانتی‌متر بررسی شده است. نتایج حاصل از شبیه‌سازی عددی در جدول ۴ نمایش داده شده است. مطابق نتایج ارائه شده حتی در اضافه حفاری ده سانتی‌متر هم امکان استفاده از ماشین‌های حفار تمام مقطع تک‌سپر و سپر دوپل وجود ندارد و لازمه حفاری، انجام عملیات پیش‌تحکیمی است. بر اساس بررسی‌های انجام شده با این سطح از اطلاعات، در ۴۰ درصد از پهنه مذکور امکان استفاده از ماشین‌های سپر دوپل و تک‌سپر وجود ندارد.



شکل ۴. توزیع تنش نرمال پیرامون سپر برای مدل عددی شماره ۱



شکل ۵. جابه‌جایی پیرامون سپر برای مدل عددی شماره ۱

چنان‌که قبلاً اشاره شد تراست محاسبه شده در این تحقیق بیشینه تراست لازم برای حفاری بدون توجه به پارامترهای تابع زمان سنگ است و مقادیر واقعی تراست با توجه به میزان پیش‌روی ماشین و پارامترهای تابع زمان سنگ کم‌تر است، بنا بر این برای تصمیم‌گیری نهایی بر روی کاربرد یا عدم کاربرد ماشین‌های سپردار و تعیین نوع سپر (تک‌سپر یا سپردوبل) باید پارامترهای تابع زمان سنگ میزان تعیین شده و با استفاده از آن مقادیر تراست واقعی محاسبه شود.

جدول ۴. تراست لازم برای غلبه بر اصطکاک بدنه و زمین در کیلومتر ۳۱۶۰۰-۳۴۹۰۰

شماره مدل	اضافه حفاری (cm)	تراست (MN)	
		تکس	سپردو
		پر	بل
۷	۳	۳۸۰	۷۲۶
۸	۵	۳۲۹	۶۳۸
۹	۱۰	۳۲۷	۵۴۴

## ۳-۲. تخمین تراست ماشین تک سپر با استفاده از روش رامونی

در روش رامونی نیز از تأثیر زمان بر جابه‌جایی‌ها صرف‌نظر شده و جابه‌جایی کل بدون در نظر گرفتن اثر زمان لحاظ شده است. معیار شکست استفاده شده در این روش نیز موهر-کلمپ است که مقدار ضریب پواسون را ثابت و برابر با  $0/25$  لحاظ کرده است. در شرایطی که زاویه اصطکاک داخلی کوچک‌تر یا مساوی  $20^\circ$  درجه باشد مقدار زاویه اتساع  $1^\circ$  درجه و در غیر این صورت مقدار آن از رابطه  $\psi = \phi - 20$  محاسبه شده است [۳]. برای ارزیابی تراست لازم برای غلبه بر اصطکاک بدنه سپر، از نمودار نمایش داده شده در شکل ۶ که بیش‌ترین تطابق را با شرایط ژئومکانیکی و مشخصات هندسی ماشین تک‌سپر دارد استفاده شده است. به دلیل تطابق نداشتن پارامترهای ژئومکانیکی پهنه  $31600-34900$  با پارامترهای ژئومکانیکی لحاظ شده به وسیله رامونی، تراست مذکور صرفاً برای پهنه‌های  $31600-29030$  و  $34900-37490$  ارزیابی شده است.

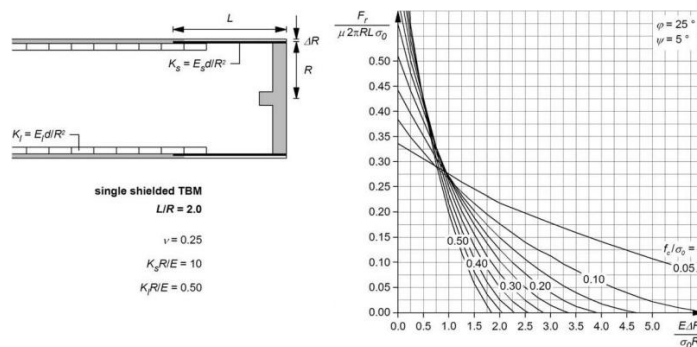
پارامترهای ژئومکانیکی استفاده شده برای ارزیابی تراست در جدول ۵ نمایش داده شده است. با استفاده از نمودار اشاره شده، مقادیر  $F'_r$  ارزیابی و در جدول ۶ نمایش داده شده است.

با توجه به مشخصات هندسی ماشین تک‌سپر و ضریب اصطکاک بین بدنه سپر و زمین، برای محاسبه تراست لازم برای غلبه بر اصطکاک، مقادیر  $F'_r$  در  $920$  ضرب شده است. چنان‌که ملاحظه می‌شود تراست تعیین شده توسط روش رامونی بیش از شبیه‌سازی عددی است و تفاوت بین تراست تعیین شده با این روش و روش عددی با افزایش اضافه‌حفاری و مساعد شدن شرایط ژئومکانیکی به صورت تصاعدی افزایش می‌یابد. علت این امر، فرضیات

لحاظ شده در مدل عددی رامونی است که می‌توان به لزوم استفاده از فرض تقارن محوری، که منجر به سختی بیش‌تر سپر در مقایسه با حالت واقعی شده و به تبع آن نیروهای نرمال وارد بر سپر افزایش می‌یابد. اشاره کرد. هم‌چنین در مدل رامونی سپر باید در محور تونل قرار بگیرد که این امر منجر به کاهش تغییر شکل در سقف تونل و به تبع آن افزایش نیروهای نرمال وارد بر سپر می‌شود. علاوه بر این در شبیه‌سازی عددی انجام شده کاهش قطر سپر به اندازه ۶ سانتی‌متر در طول لحاظ شده که در روش رامونی لحاظ نشده است. با توجه به نتایج ارائه شده از روش رامونی می‌توان برای تقریب اولیه تراست در شرایط ژئومکانیکی ضعیف استفاده کرد و استفاده از آن در شرایط ژئومکانیکی متوسط و مقادیر بالای اضافه‌حفراری توصیه نمی‌شود.

جدول ۵. پارامترهای ژئومکانیکی برای ارزیابی تراست با استفاده از روش رامونی

$E_m$ (MPa)	Nu	Phi	(MPa)UCS	کیلومتر
۲۵۰۰ - ۱۲۵۰	۰/۲۵	۲۵	۶-۵	۳۷۴۹۰-۳۴۹۰۰ و ۳۱۶۰۰-۲۹۰۳۰



شکل ۶. مقدار تراست لازم برای غلبه بر اصطکاک بدنه سپر برای ماشین تک سپر [۳]

جدول ۶. تراست لازم برای غلبه بر اصطکاک بدنه سپر در

پهنه‌های ۳۷۴۹۰-۳۴۹۰۰ و ۲۹۰۳۰-۳۱۶۰۰

تراست (MN)	$F_r$	اضافه حفراری (سانتی‌متر)	پارامترهای ژئومکانیکی
۳۵۹	۰/۳۹	۳	کمینه
۲۶۷	۰/۲۹	۵	
۱۳۳	۰/۱۴۵	۱۰	
۲۳۹	۰/۲۶	۳	
۱۱۰	۰/۱۲	۵	بیشینه
۰	۰	۱۰	



### نتیجه‌گیری

در شرایط ژئومکانیکی کمینه در کیلومتر ۳۱۶۰۰-۲۹۰۳۰ و ۳۷۴۹۰-۳۴۹۰۰، تنها هنگامی می‌توان از ماشین‌های سپردار استفاده کرد که میزان اضافه‌حفاری ۱۰ سانتی‌متر و طول زون با شرایط ژئومکانیکی کمینه بیش از سی‌صد متر نباشد. البته ماشین‌های سپردوبل به‌دلیل نرخ‌پیش‌روی بالاتر بر ماشین‌های تک‌سپر برتری دارند. ولی در طول‌های بیش از سی‌صد متر استفاده از ماشین‌های سپردار توصیه نمی‌شود. برای استفاده از ماشین‌های سپردار توصیه می‌شود با حفر گالری اکتشافی، طول بخش‌هایی از پهنه مذکور که دارای شرایط ژئومکانیکی کمینه‌اند تعیین شود.

در شرایط ژئومکانیکی بیشینه در کیلومتر ۳۱۶۰۰-۲۹۰۳۰ و ۳۷۴۹۰-۳۴۹۰۰، اضافه‌حفاری سه سانتی‌متر برای حفاری جواب‌گو است و این مقادیر از اضافه‌حفاری به راحتی در تمام طول پهنه قابل اجرا است.

با مقایسه نتایج روش عددی و روش ارائه شده به‌وسیله رامونی مشخص شد که تراست تعیین شده با روش رامونی با توجه به فرضیات ساده‌کننده لحاظ شده بیش‌تر از مقادیر حاصل شده با روش عددی است و با افزایش اضافه‌حفاری و مساعد شدن شرایط ژئومکانیکی تفاوت به مقدار قابل توجه‌ای افزایش می‌یابد. علت این امر بیش‌تر بودن سختی سپر و به‌خصوص یک‌سان بودن اضافه‌حفاری پیرامون سپر در تقارن محوری است. به‌همین دلیل استفاده از این روش در مقادیر بالای اضافه‌حفاری توصیه نمی‌شود.

### منابع

1. Farrokh E., Rostami J., "Effect of adverse geological condition on TBM operation in Ghomroud tunnel conveyance project", *Tunnelling and Underground Space Technology*, Vol. 24 (4), (2009) 436-446.
2. Cantieni L., Anagnostou G., "The effect of the stress path on squeezing behavior in tunneling", *Rock Mechanics and Rock Engineering*, Vol. 42 (3), (2009) 289-318.

3. Ramoni M., Anagnostou G., "Thrust force requirements for TBMs in squeezing ground", *Tunnelling and Underground Space Technology*, Vol. 25, (2010) 433-455.
4. Hoek E., Diederichs M. S., "Empirical estimation of rock mass modulus", *International Journal of Rock Mechanics & Mining Sciences*, Vol. 43, (2006) 203–215.
5. Kovari K., "Rock reformation problems when using full face cutting equipment in rock, Part 2", *Tunnel Journal*, Vol. 4, (1986) 298-298.
6. Schubert W., "TBM excavation of tunnels in squeezing rock". *Lo scavo meccanizzato di gallerie*, (2000) 355-364.
7. Ramoni M., Anagnostou G., "On the feasibility of TBM drives in squeezing ground", *ITA, World Tunnel Congress*, Seoul, Korea, (2006) 22-27.
8. Rostami J., Ozdemir L., "A new model for performance prediction of hard rock TBMs", *Rock Excavation Tunneling Conference (1993) Chapter 50*.
9. Ramoni M., Anagnostou G., "The effect of advance rate on shield loading in squeezing ground", *Underground space-The 4<sup>th</sup> dimensions of metropolises*, *ITA World Tunnel Congress*, Prague, Volume 1 (2007) 673-677.
10. Ramoni M., Anagnostou G., "Numerical analysis of the development of squeezing pressure during TBM standstills", *11<sup>th</sup> Congress of the International Society for Rock Mechanics (ISRM)*, Lisbon, Volume 2 (2007) 963-966.